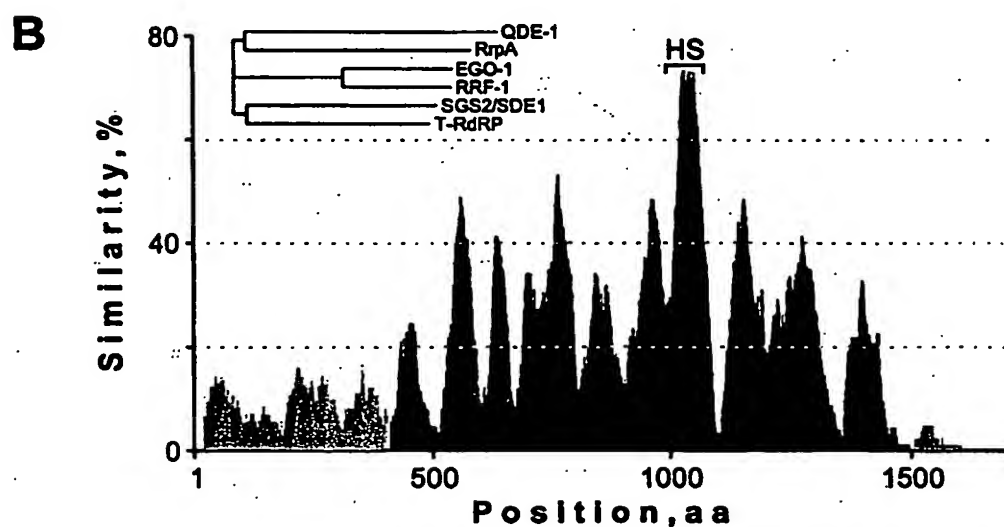
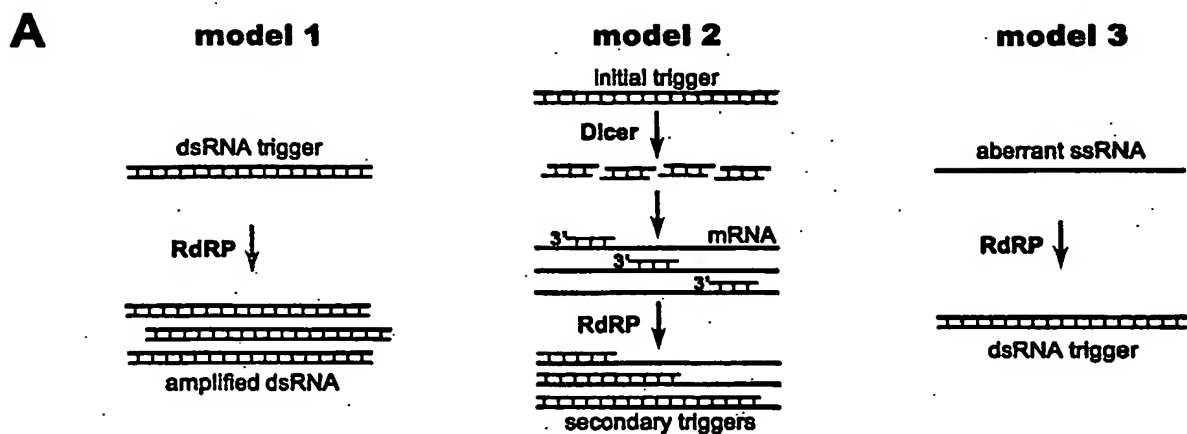


1/12



C

QDE-1	(958)	VLYARS	AHFS	DIOR	VRAV	FKPE	HS	SKD	VEI	STK	EV	LAKKLS	GGY	DG	MA	WZ	PE
EGO-1	(925)	VLLT	NP	GI	VAG	DV	RI	FE	AV	DI	PE	LHM	CD	AV	EO	HC	PR
RRF-1	(898)	VLLT	NP	GI	VAG	DV	RI	FE	AV	DI	PE	LHM	CD	AV	EO	HC	PR
RrpA	(1307)	VMYI	NP	PT	HE	GD	RY	LK	AV	NI	RI	RHL	RM	LV	STK	EV	EN
SGS2/SDE1	(814)	VATA	KN	PE	LH	EG	DV	RI	FE	AV	DI	PE	LHM	CD	AV	EO	HC
T-RdRP	(752)	VVAK	NP	PE	LH	EG	DV	RI	FE	AV	DI	PE	LHM	CD	AV	EO	HC
Consensus	(1013)	Vlvakn	Pcxh	pgDv	rile	AV	dxpe	Lffm	xdv	vvv	Fp	qkGdr	Ph	px	exs	GsDl	DGDxy

Fig. 1

2/12

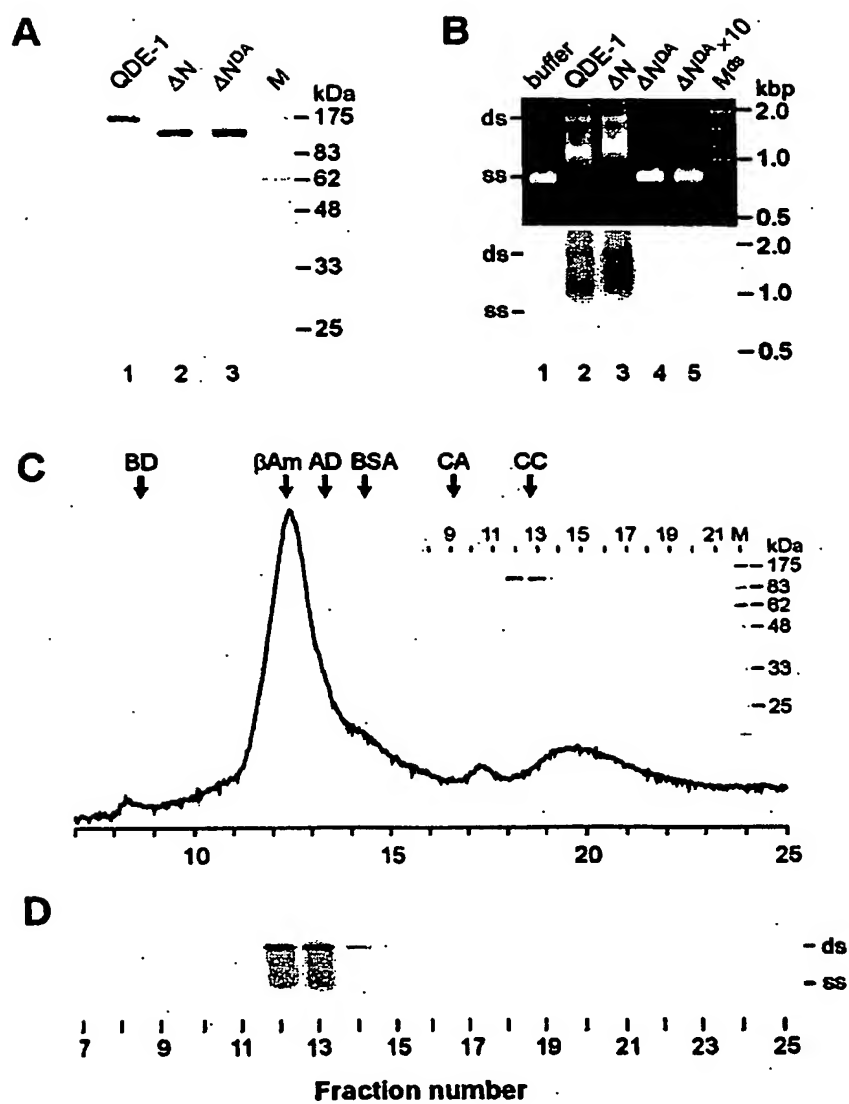


Fig.2

3/12

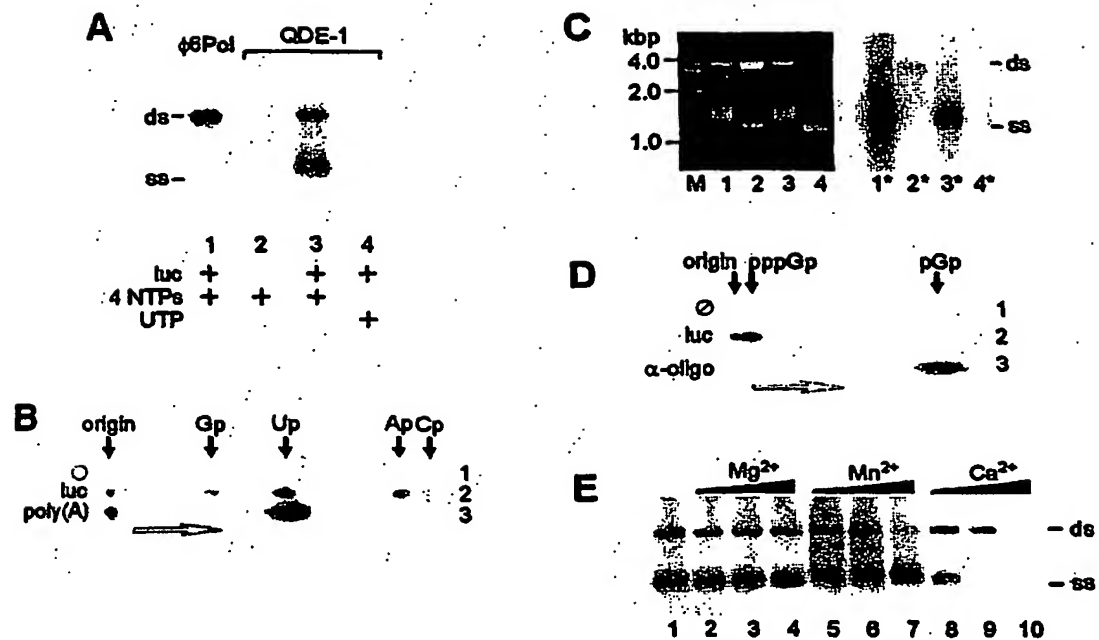


Fig.3

4/12

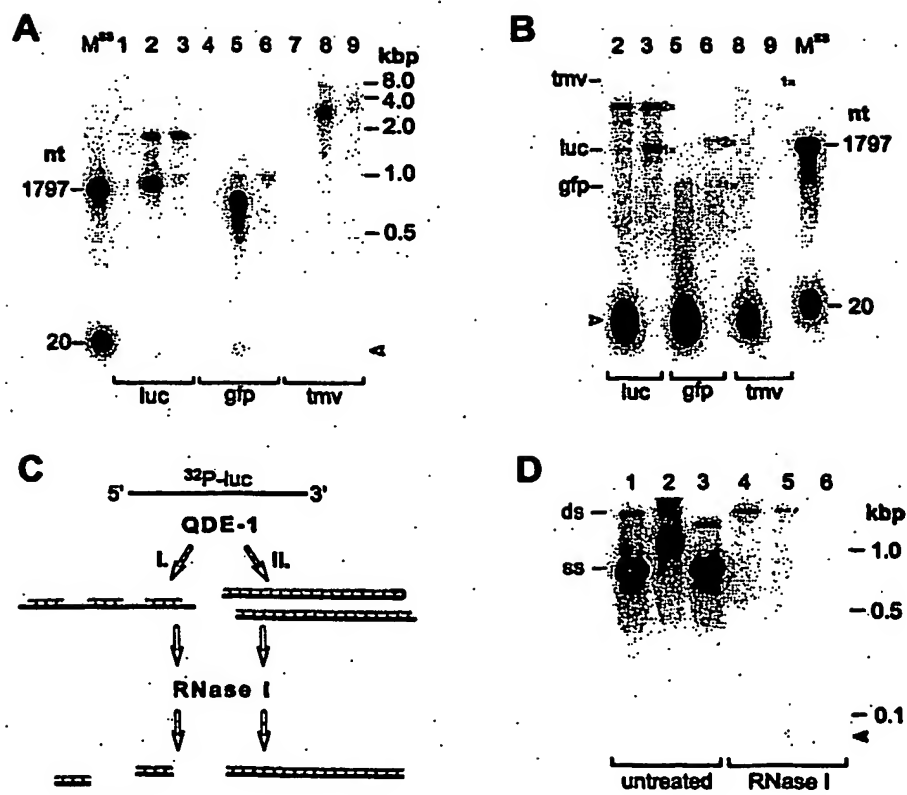


Fig.4

5/12

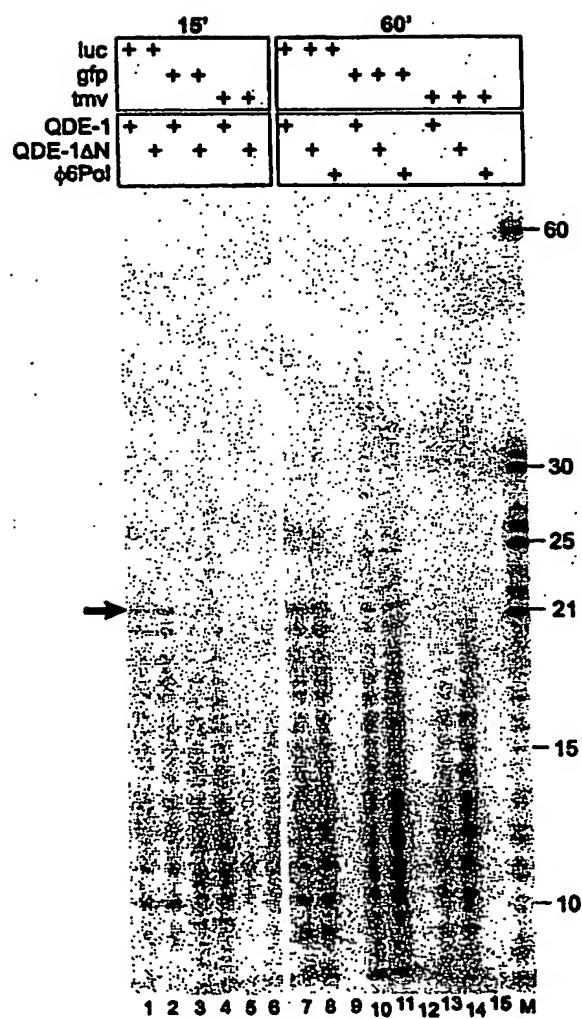


Fig.5

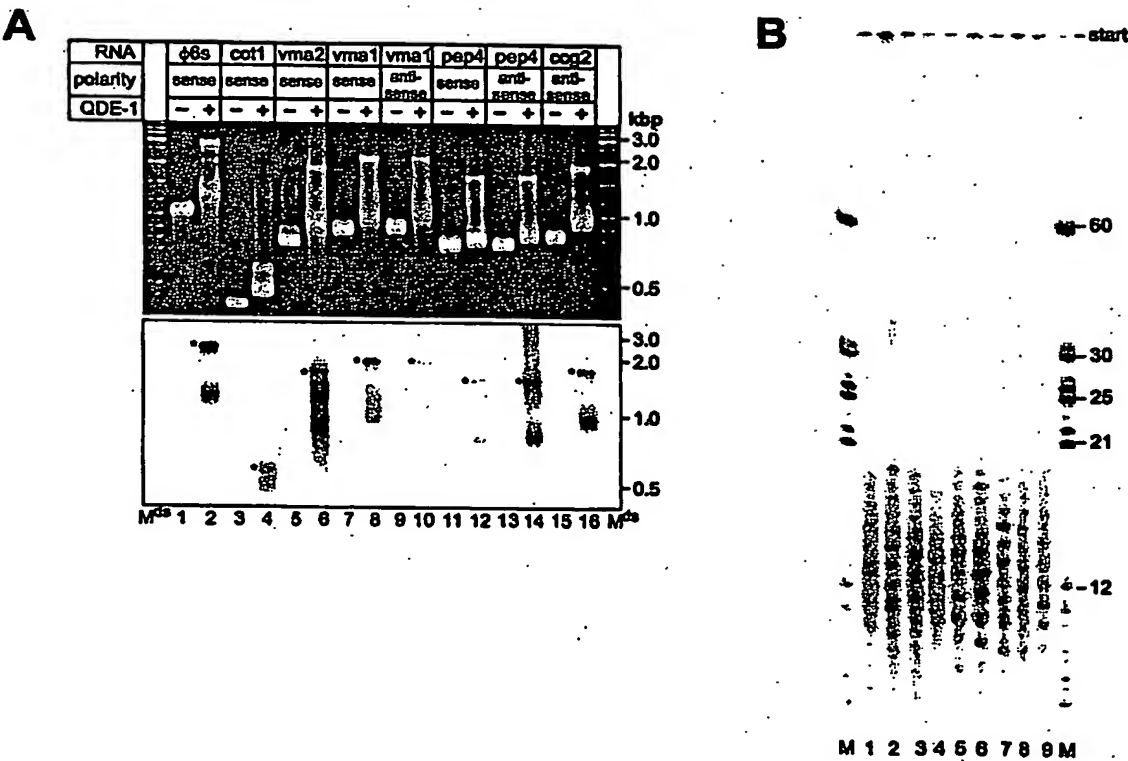


Fig.6

7/12

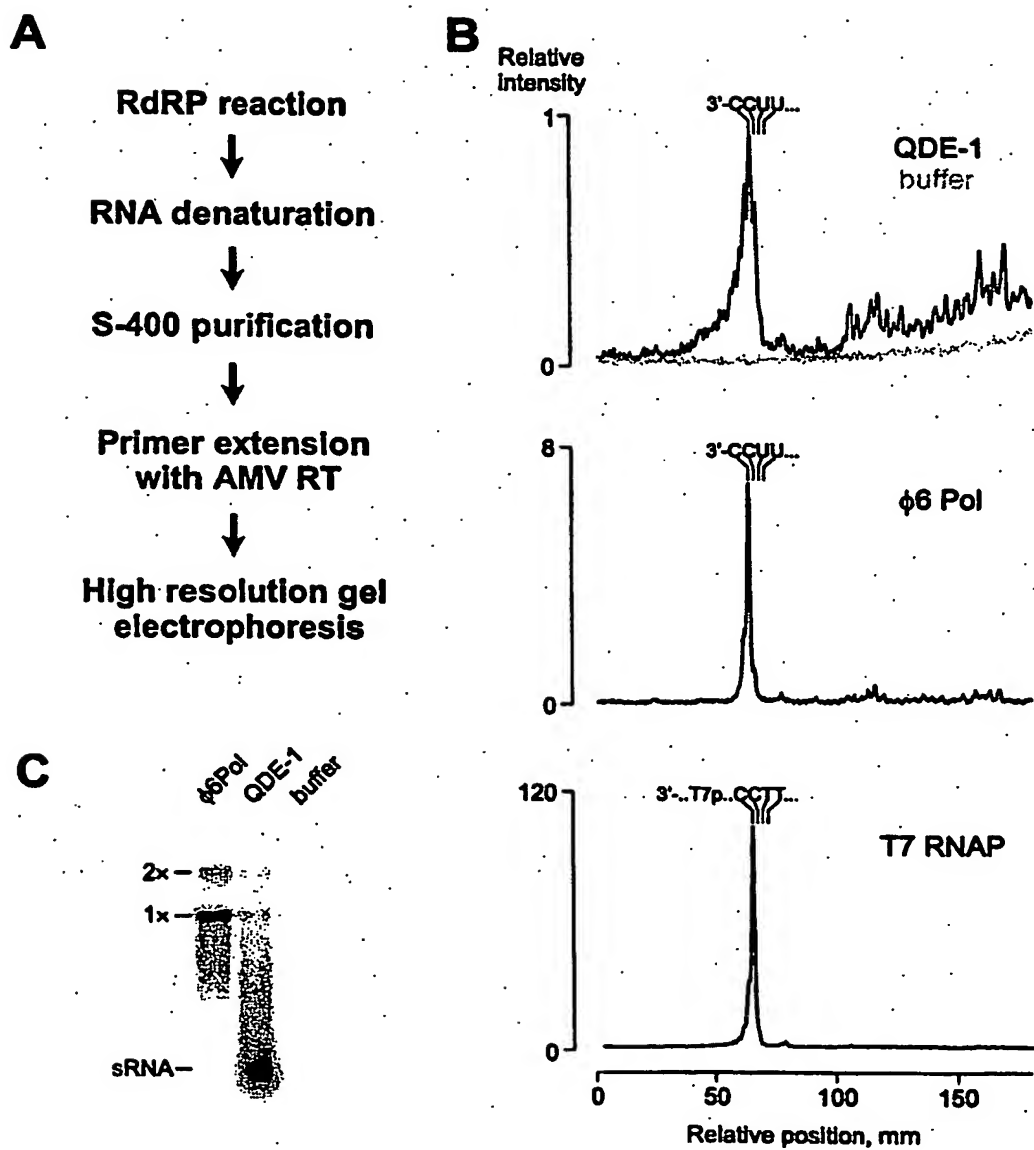


Fig.7

8/12

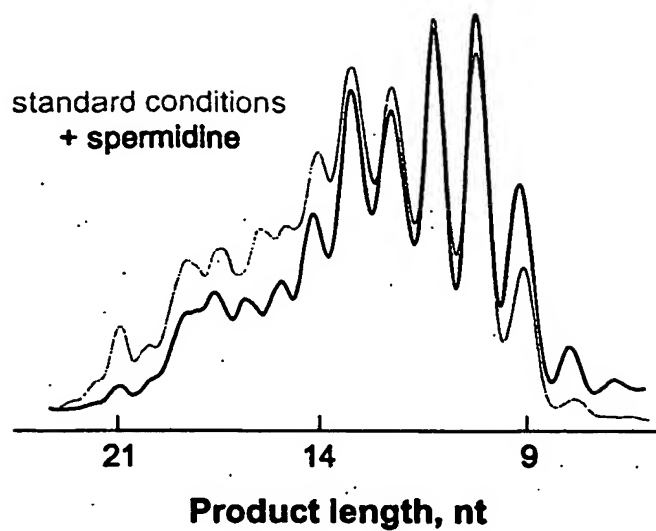


Fig.8

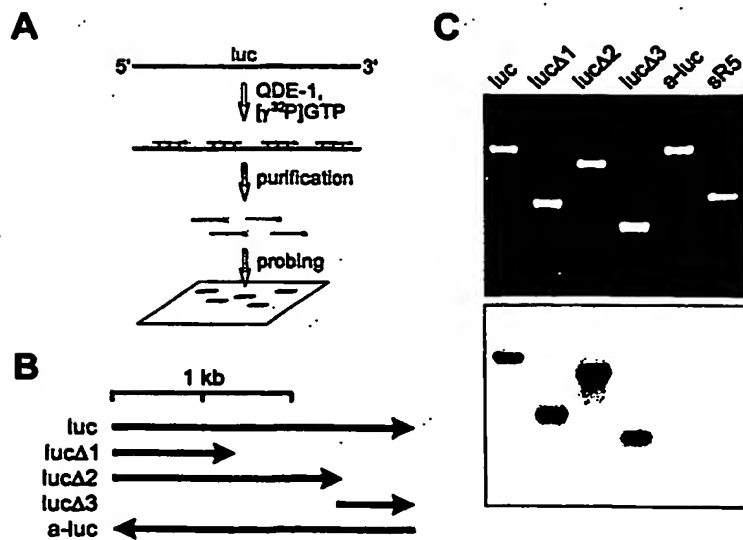


Fig.9

9/12

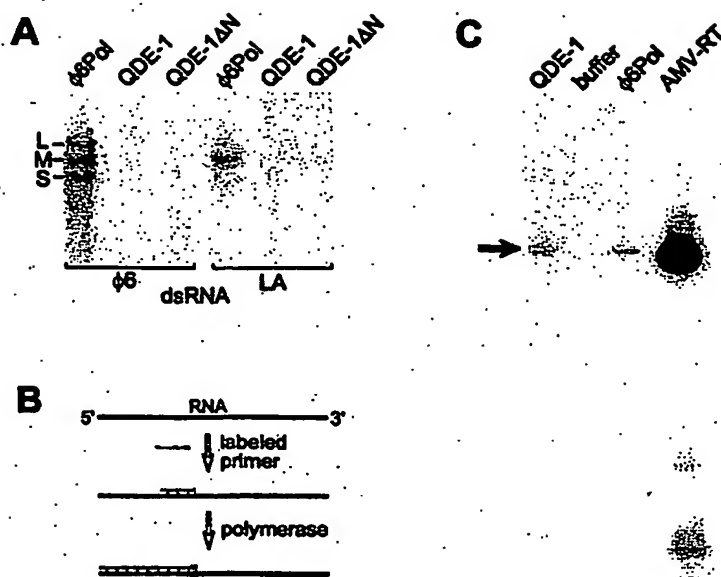


Fig.10

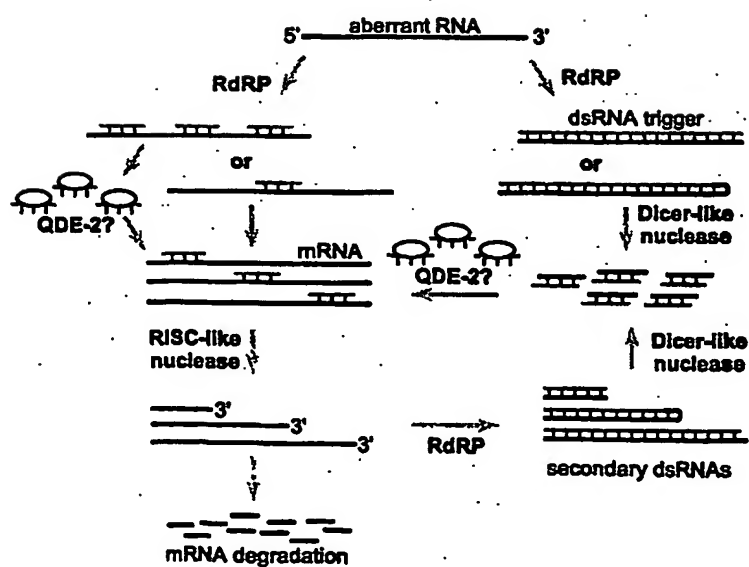


Fig.11

10/12

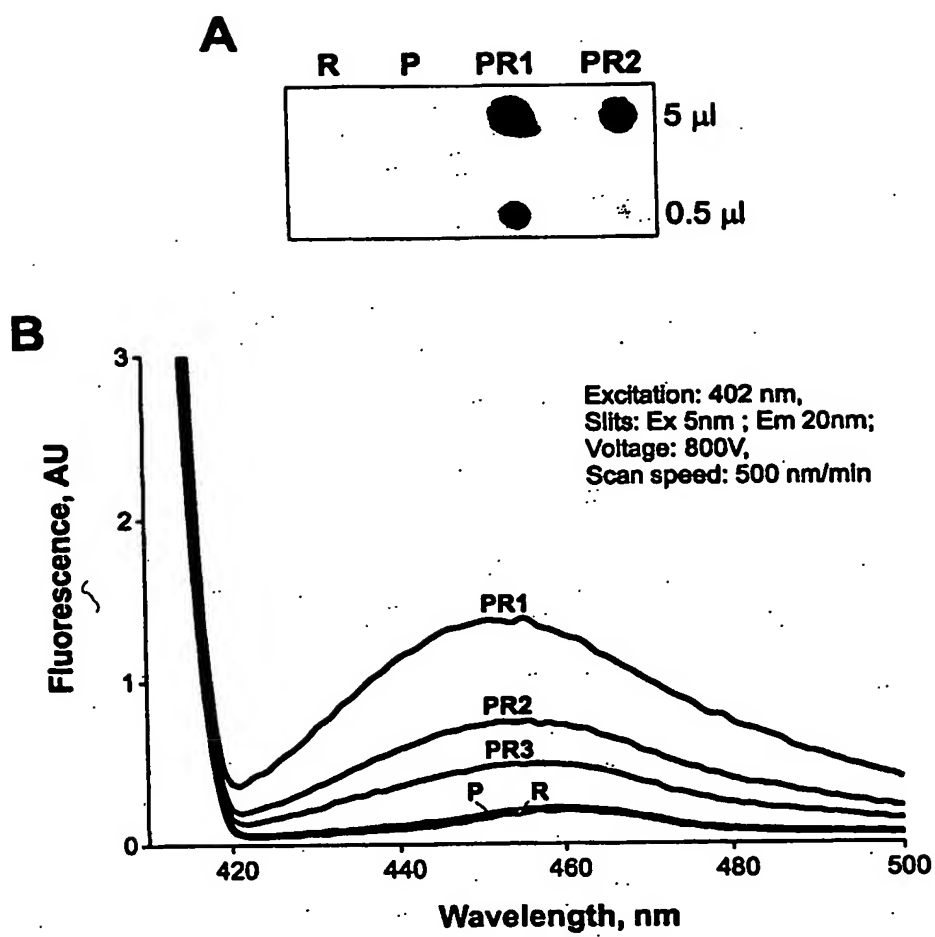


Fig.12

11/12

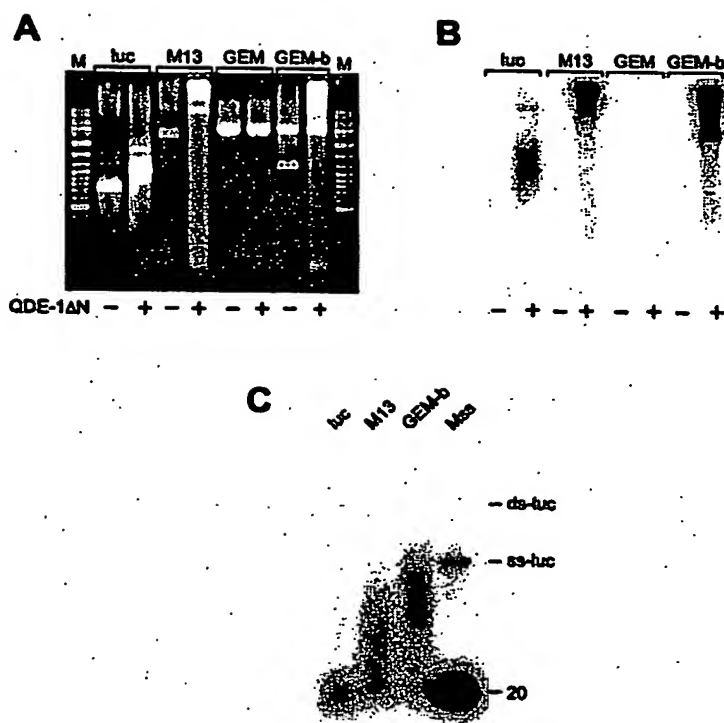


Fig.13

12/12

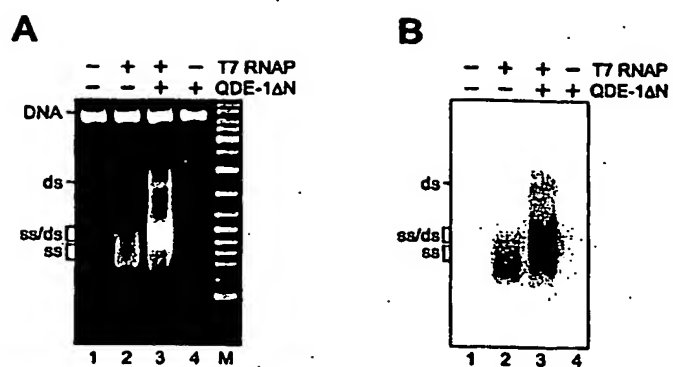


Fig.14

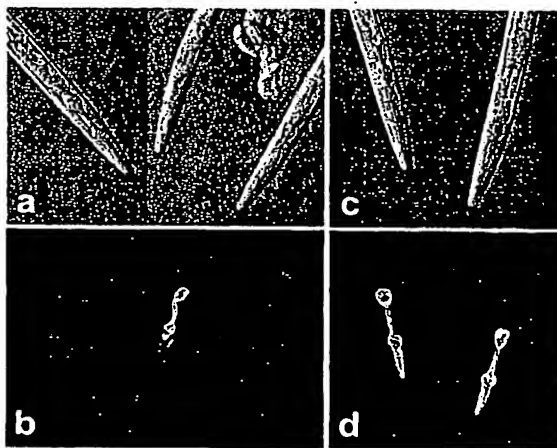


Fig.15